

บทที่ 2

ตารางธาตุและสมบัติตามตารางธาตุ

Periodic Table and Periodic Properties

นักเคมีอนินทรีย์ให้ความสำคัญกับตารางธาตุทั้งนี้ เพราะถือว่าตารางธาตุมีคุณค่าในการช่วยจัดระเบียบของธาตุต่างๆ และยังเป็นเครื่องมือช่วยให้ความเข้าใจพร้อมทั้งทำนายโครงสร้างทางเคมี สมบัติและปฏิกิริยาต่างๆ เมนเดลีฟ (Mendeleev) และเมเยอร์ (Meyer) ได้จัดลำดับของธาตุตามน้ำหนักอะตอมและจัดกลุ่มของธาตุที่มีสมบัติทางเคมีคล้ายคลึงกัน ธาตุที่อยู่ในแนวนอนเรียกว่า คาบ (period) ส่วนคอลัมน์ในแนวตั้งเรียกว่า หมู่ (group) การจัดตารางธาตุได้พัฒนามาตามลำดับหลังจากการค้นพบธาตุใหม่ๆ และการสังเคราะห์ธาตุ หนักๆ จนมาเป็นรูปแบบที่ทันสมัยซึ่งแสดงไว้ที่ปัจจุบันในของหนังสือเล่มนี้ การแบ่งส่วนต่างๆ ของตารางธาตุแสดงในรูปที่ 2.1 ให้สังเกตว่าการใส่ชื่อหมู่ในประเทศสหรัฐอเมริกา จะแตกต่างจากทางยุโรป ล่าสุดนี้สามารถชี้ให้เห็นว่า ชาติของเคมีบริสุทธิ์และเคมีประยุกต์ (IUPAC) ได้เสนอแนะให้ใช้เป็นหมู่ 1 จนถึงหมู่ 18 ตลอดเวลา

ส่วนต่างๆ ของตารางธาตุได้แก่ หมู่ 1 โลหะอัลคาไล (Alkali Metals) หมู่ 2 โลหะอัลคาไลเออร์ช (Alkali Earth Metals) หมู่ 11 โลหะคอยเนจ (Coinage Metals) หมู่ 16 ชาลโคลเจน (Chalcogens) หมู่ 17 ไฮโลเจน (Halogens) หมู่ 18 โนเบลก๊าซ (Noble Gases) รวมทั้ง โลหะทรานซิชัน (Transition Metals) อนุกรมแلنಥานิด (Lanthanides) และอนุกรมแอคตีนิด (Actinides) ได้แสดงไว้ในรูปที่ 2.1 สำหรับอนุกรมแلنಥานิดและแอคตีนิดซึ่งมี f- เวลน์ซึ่งเรียกว่า อนุกรมทรานซิชันภายใน (inner-transition) ธาตุในหมู่เดียวกันจะมีโครงสร้างของเวลน์ซึ่งแตกต่างกันและมีสมบัติทางเคมีคล้ายคลึงกัน ธาตุซึ่งมีเลขอะตอมตั้งแต่ 111 ขึ้นไปปัจจุบันยังไม่พบ ส่วนธาตุที่ 104-110 ได้มีการค้นพบแล้ว จากทฤษฎีนิวเคลียร์ธาตุหนักบางธาตุมีครึ่งชีวิตนานมาก ดังนั้นจึงยังอยู่ในช่วงที่คำนวณและทำนายพฤติกรรมตามตารางธาตุอยู่ในขณะนี้

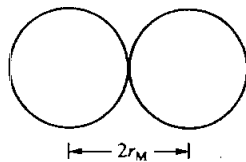
Groups (American tradition)																	
IA	IIA	IIIB	IVB	VB	VIB	VIIB	VIIIIB	IB	IIB	IIIA	IVA	VA	VIA	VIA	VIIA	VIIIA	
Groups (European tradition)																	
IA	IIA	IIIA	IVA	VA	VIA	VIIA	VIII	IB	IIB	IIIB	IVB	VB	VIB	VIIIB	0		
Groups (IUPAC)																	
1	2	3	4	5	6	7	8	Y	10	II	12	13	14	15	16	17	18
1	2	3	4	5	6	7	8	Y	10	II	12	13	14	15	16	17	18
Alkali Metals	Alkaline Earth Metals	Transition Metals								Coinage Metals	5	13	Chalcogens	Halogens	Noble Gases	10	
21	39	22	40							30	31					86	
55	57	*	72							48	49						
87	89	**	104							80	81						
*	58	Lanthanides														71	
**	90	Actinides															103

รูปที่ 2.1 ชื่อของส่วนต่างๆของตารางธาตุ

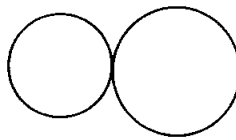
2.1 รัศมีโลหะและรัศมีอิオน (Metallic and Ionic Radii)

สมบัติอะตอมที่มีประโภชน์ที่สุดอันหนึ่งได้แก่ ขนาดของอะตอมและอิオน การพิจารณาเกี่ยวกับพารามิเตอร์ดังกล่าวใน มักจะดูที่โครงสร้างของของแข็ง (solids) เป็นหลัก และระยะทางของอิเล็กตรอนที่อยู่ห่างจากนิวเคลียสจะเกี่ยวข้องกับพลังงานที่ต้องการในขบวนการดึงเอาอิเล็กตรอนนี้ออกเพื่อเกิดเป็นอิオน

รัศมีโลหะ (metallic radius) ของธาตุ เรานิยามว่าเป็นระยะทางครึ่งหนึ่งระหว่างศูนย์กลางของอะตอมที่อยู่ใกล้กันในโลหะของแข็ง ดังรูปที่ 2.2 (ก) ส่วน รัศมีอิオน (ionic radius) นั้น เป็นระยะระหว่างศูนย์กลางของแคตอิโอน และ แอนอิโอน ดังรูปที่ 2.2 (ข) โดยถือว่ารัศมีของ O^{2-} แอนอิโอนมีค่า 1.40 \AA ตัวอย่างเช่นรัศมีของ Mg^{2+} จะได้จากการหักค่า 1.40 \AA จากระยะทางระหว่าง Mg^{2+} และ O^{2-} ใน MgO



(g)



(h)

รูปที่ 2.2 (ก) รัศมีโลหะ

(ข) รัศมีอิօօն

ตารางที่ 2.1 แสดงค่ารัศมีโลหะ (เมื่อมีเลขโකออร์ดิเนชันเท่ากับ 12) ส่วนตารางที่ 2.2 แสดงค่ารัศมีอิօօน (ค่าในวงเล็บบ่งถึงเลขโκօօර์ດิเนชัน)

ตารางที่ 2.1 ค่ารัศมีโลหะ (Å°)

Li	Be												
1.57	1.12												
Na	Mg												
1.91	1.60												
K	Ca	SC	Ti	v	Cr	Mn	Fe	Co	Ni	Cu	Zn	Ga	
2.35	1.97	1.64	1.47	1.35	1.29	1.27	1.26	1.25	1.25	1.28	1.37	1.53	
Rb	Sr	Y	Zr	Nb	Mo	Tc	Ru	Rh	Pd	Ag	Cd	In	Sn
2.50	2.15	1.82	1.60	1.47	1.40	1.35	1.34	1.34	1.37	1.44	1.52	1.67	1.56
Cs	Ba	Lu	Hf	Ta	W	Re	Os	Ir	Pt	Au	Hg	Tl	Pb
2.72	2.24	1.72	1.59	1.47	1.41	1.37	1.35	1.36	1.39	1.44	1.55	1.71	1.75
													Bi
													1.82

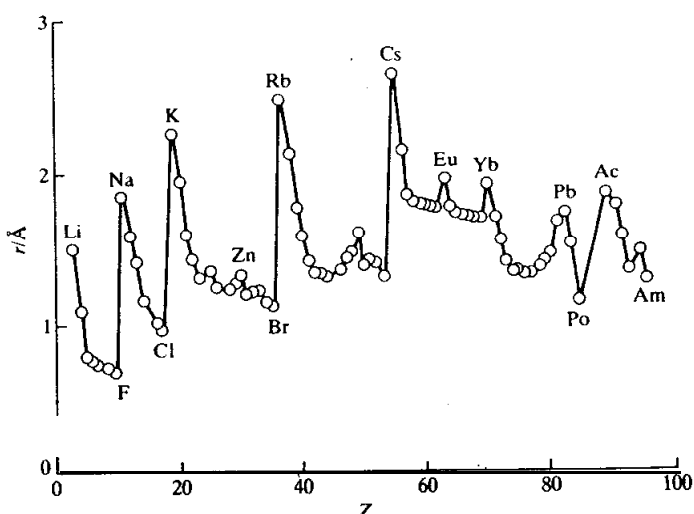
ที่มา : A.F. Wells, Structural *Inorganic* Chemistry, 5th edn, Clarendon Press, Oxford (1984)

ตารางที่ 2.2 ค่ารัศมีอิオน (\AA)

$\text{Li}^+ (4)$	$\text{Be}^{2+} (4)$	$\text{B}^{3+} (4)$	C	N^{3-}	$\text{O}^{2-} (6)$	$\text{F}^- (6)$
0.59	0.27	0.12		1.71	1.40	1.33
$\text{Na}^+ (6)$	$\text{Mg}^{2+} (6)$	$\text{Al}^{3+} (6)$	Si	P^{3-}	$\text{S}^{2-} (6)$	$\text{Cl}^- (6)$
1.02	0.72	0.53		2.12	1.84	1.81
$\text{K}^+ (6)$	$\text{Ca}^{2+} (6)$	$\text{Ga}^{3+} (6)$	Ge	As^{3-}	$\text{Se}^{2-} (6)$	$\text{Br}^- (6)$
1.38	1.00	0.62		2.22	1.98	1.96
$\text{Rb}^+ (6)$	$\text{Sr}^{2+} (6)$	$\text{In}^{3+} (6)$	Sn	Sb^{3-}	$\text{Te}^{2-} (6)$	$\text{I}^- (6)$
1.49	1.16	0.79			2.21	2.20
$\text{Cs}^+ (6)$	$\text{Ba}^{2+} (6)$	$\text{Tl}^{3+} (6)$	Pb	Bi^{3-}	Po^{2-}	At^-
1.70	1.36	0.88				

ที่มา : R.D. Shannon and C.T. Prewitt, *Acta Crystallogr. B* 25, 925 (1969)

รัศมีทั้งสองแบบแสดงการแปรผัน (variation) ซึ่งเป็นองค์ประกอบสำคัญในการใช้อธินายเคลื่อนนิทรรศ์ โดยที่เมื่อเติมอิเล็กตรอนเข้าไปตามความเป็นลำดับนั้น ถือว่าเข้าไปในชั้น (shell) เดียวกัน ขณะเดียวกันค่าของประจุนิวเคลียสที่ยังคง (effective nuclear charge) ก็เพิ่มขึ้นตามความและจะคงอยู่อิเล็กตรอนทำให้อัดแน่นเข้า (compact) ดังนั้นแนวโน้มของรัศมีโลหะ และรัศมีอิอ่อนตามความจำลคล่อง แต่เมื่อหมดความแล้วอิเล็กตรอนตัวต่อไปจะเข้า



รูปที่ 2.3 การแปรผันของรัศมีตามตารางธาตุ (สังเกตการลดของรัศมีหลังจากกลุ่มแlenท้าในค่าในค่าที่ 6)

ที่ขั้นต่ำเลขกวนตัมหลัก(n) สูงขึ้น รัศมีจึงใหญ่ขึ้น เนื่องจากขั้นใหม่จะล้อมรอบขั้นในชั้นนี้ อิเล็กตรอนบรรจุเต็มแล้ว นั่นคือในความถัดมา รัศมีของอะตอมหรืออิออนจะใหญ่กว่า atoms เดิม ตัวอย่างเช่น รัศมีของ Li และ K ดังนั้นแนวโน้มของรัศมีจะเพิ่มขึ้นเมื่อลบนาตามหน้ารูปที่ 2.3 แสดงการแปรผันของรัศมีอะตอมของธาตุ

ในภาพที่ 6 ชั้นมีธาตุทรานซิชันแแควร์ที่สามค่ารัศมีโลหะจะใกล้เคียงกับธาตุทรานซิชันแแควร์ที่สองมาก(ตารางที่ 2.1) ค่ารัศมีที่ลดลงต่ำกว่าค่าที่ควรเป็นนี้เรียกว่า การหดตัวของແلنທາໄනດ (lanthanide contractions) ชื่อนี้จากการที่ธาตุทรานซิชันในแแควร์ที่สามนี้มีชาตุที่แทรกอยู่ข้างหน้า 14 ธาตุใน f-บล็อก คือ 4f-ออร์บิทัล มีอิเล็กตรอนบรรจุอยู่เต็ม ออร์บิทัลเหล่านี้มีการกันกันน้อย แรงดึงดูดของประจุนิวเคลียสที่มีต่ออิเล็กตรอนจะเพิ่มมากใน f-ออร์บิทัล ทำให้อะตอมอัดกันแน่นขนาดเล็กลง (ชาตุในกลุ่มนี้เรียกว่าແلنທາໄනດ)

นอกจากการหดตัวของແلنທາໄනດแล้ว เราจะเห็นว่าเกิดปรากฏการณ์แบบเดียวกันนี้ในอนุกรมธาตุทรานซิชันแแควร์ที่หนึ่งและแแควร์ที่สองด้วย ทั้งนี้เพราะมี d-อิเล็กตรอนซึ่งมีการกันกันน้อย เช่นกัน ตัวอย่างเช่น Sc(1.64 \AA) และ Ni(1.25 \AA) หรือ Y(1.81 \AA) และ Ru(1.34 \AA)

2.2 พลังงานออร์บิทัลของอะตอมหลายอิเล็กตรอน(Orbital Energies for Many- Electron Species)

ในหัวข้อ 1.10 เราได้กล่าวถึงระบบที่มีอิเล็กตรอนหลายตัว ซึ่งพลังงานแต่ละออร์บิทัลไม่เท่ากันเนื่องจากผลของการกัน(shielding effect) ได้มีผู้พัฒนาวิธีหลายวิธีที่จะคำนวณพลังงานของออร์บิทัล ในปี 1930 สเลเตอร์(Slater) ได้เสนอกฎอย่างง่ายในการหาค่าคงที่การกัน(S) เพื่อใช้ในการหาค่าคงที่ของออร์บิทัล ต่อมานายาน คลีเมนต์(Clementi) และ ไรมอนดี(Raimondi) ได้เสนอเซต(set) ของกฎที่ใช้คำนวณการกัน ซึ่งอิเล็กตรอนตัวหนึ่งในออร์บิทัลที่ n^{th} ใดๆจะได้รับด้วยวิธีการคำนวณจาก พังก์ชันคลีนเซลฟ์คอนเซส เทิร์นต์ฟิลด์(Self-Consistent field wave-functions) ดังนี้:

$$S_{1s} = 0.300 (1s-1) + 0.0072 (2s+2p) + 0.0158 (3s+3p+3d+4s+4p)$$

$$S_{2s} = 1.7208 + 0.3601 (2s+2p-1) + 0.2062 (3s+3p+3d+4s+4p)$$

$$S_{2p} = 2.5787 + 0.3326 (2p-1) - 0.0773 (3s) - 0.0161 (3p+4s) - 0.0048 (3d) \\ + 0.0085 (4 p)$$

$$S_{3s} = 8.4927 + 0.2501 (3s+3p-1) + 0.0778 (4s) + 0.3382 (3d) + 0.1978 (4p)$$

$$S_{3p} = 9.3345 + 0.3803 (3p-1) + 0.0526 (4s) + 0.3289 + 0.1558 (4p)$$

$$S_{4s} = 15.505 + 0.0971 (4s-1) + 0.833 (3d) + 0.0687 (4p)$$

$$S_{3d} = 13.5894 + 0.2693 (3d-1) - 0.1065 (4p)$$

$$S_{4p} = 24.7782 + 0.2905 (4p-1)$$

เมื่อค่า S_{nl} เป็นแฟกเตอร์ของการกัน (shielding factor) ทั้งหมดของอิเล็กตรอนตัวที่เราสนใจ และค่า n_l ในวงลีบแทนจำนวนอิเล็กตรอนที่อยู่ในอิริบิตล n_l นั้นๆ

ตัวอย่างที่ 1 จงคำนวณค่าการกัน และ ประจุนิวเคลียสที่ยังคงของ

(ก) เวลนซ์อิเล็กตรอนของ ${}_7N$

(ก1) s- อิเล็กตรอนใน ${}_{30}Zn$

(ก) 3d-อิเล็กตรอนใน ${}_{30}Zn$

วิธีทำ (น) เวลนซ์อิเล็กตรอนของ ${}_7N$

$$S_{2p} = 2.5787 + 0.3326 (3-l) = 3.2439$$

$$Z^* = Z - \sum S = 7 - 3.2439 = 3.7561$$

(ก) 4s-อิเล็กตรอนใน ${}_{30}Zn = 1s^2 2s^2 2p^6 3s^2 3p^6 3d^{10} 4s^2$

$$S_{4s} = 15.505 + 0.0971 (2-l) + 0.833 (10) = 23.9321$$

$$Z^* = Z - \sum S = 30 - 23.9321 = 6.0697$$

(ก) 3d-อิเล็กตรอนใน ${}_{30}Zn = 1s^2 2s^2 2p^6 3s^2 3p^6 3d^{10} 4s^2$

$$S_{3d} = 13.5894 + 0.2693 (10-l) = 16.0131$$

$$Z^* = Z - S = 30 - 16.0131 = 13.9869$$

เราสามารถคำนวณพลังงานของอิริบิตลได้จากสมการ

$$E = \frac{-13.6 \text{ eV} (Z^*)^2}{(n^*)^2} \quad (2.1)$$

เมื่อ n^* คือ เลขคุณต้มที่ยังผล (effective quantum number) สำหรับ 3 ชั้นแรก

$$n^* = n$$

ตัวอย่างที่ 2 จงหาพลังงานออร์บิทัลของ B อะตอม

วิธีทำ B อะตอมในสถานะพื้น $1s^2 2s^2 2p^1$

$$S_{1s} = 0.300 (2-1) + 0.0072 (2+1) = 0.322$$

$$S_{2s} = 1.7208 + 0.3601 (2+1-1) = 2.441$$

$$S_{2p} = 2.5787 + 0.3326 (1-1) = 2.579$$

คำนวณพลังงานจากสมการ (2.1) ได้ดังนี้

$$E_{1s} = \frac{-13.6(5.000 - 0.322)^2}{1^2} = -298 \text{ eV}$$

$$E_{2s} = \frac{-13.6(5.000 - 2.441)^2}{2^2} = -22.3 \text{ eV}$$

$$E_{2p} = \frac{-13.6(5.000 - 2.579)^2}{2^2} = -19.9 \text{ eV}$$

ตารางที่ 2.3 แสดงพลังงานออร์บิทัลของ 19 ธาตุซึ่งคำนวณโดยวิธีนี้ ต้องระลึกเสมอว่าตัวเลขเหล่านี้เป็นการคำนวณจากแบบจำลองหนึ่งเท่านั้นจะถือเป็นค่าที่แน่นอนไม่ได้ แต่ให้คูณไว้นมที่เกิดขึ้น

ตารางที่ 2.3 พลังงานออร์บิทัลของ 19 ธาตุ คำนวณโดยวิธีของคลีเมนไก และ ไรมอนไค (eV)

ธาตุ	1s	2s	2p	3s	3p	4s
H	-14					
He	-39					
Li	-99	-6				
Be	-185	-12				
B	-298	-22	-20			

ตารางที่ 2.3 (ต่อ) --

ธาตุ	1s	2s	2p	3s	3p	4s
C	-437	-35	-32			
N	-604	-50	-48			
O	-797	-68	-66			
F	-1017	-89	-88			
Ne	-1264	-113	-113			
Na	-1536	-146	-159	-10		
Mg	-1833	-184	-213	-16		
Al	-21.57	-225	-27 1	-24	-20	
Si	-2508	-271	-336	-34	-28	
P	-2884	-322	-408	-46	-36	
S	-3287	-376	-488	-59	-46	
Cl	-3717	-436	-574	-74	-57	
Ar	-4173	-499	-667	-91	-69	
K	-4655	-566	-767	-96	-90	-12

จากการสังเกตตามตารางที่ 2.3 เราจะพบว่า

- เมื่อเลขอะตอมเพิ่มขึ้น พลังงานในออร์บิทัลชนิดเดียวกันจะเป็นลบมากขึ้นแสดงว่าเสถียรภาพเพิ่มขึ้น หัวใจของการแรงดึงดูดทางไฟฟ้าสถิตย์ (electrostatic attraction)
- ในแนวนอนของตารางธาตุ การกันซึ่งเพิ่มขึ้นจะไม่สมบูรณ์ นั่นคือเมื่อเพิ่มอิเล็กตรอนเข้าไปหนึ่งตัว จะไม่เท่ากับที่เพิ่มໂປຣຕອນเข้าไปที่นิวเคลียส ดังนั้นมีการเปลี่ยนเทียบ 2-p ออร์บิทัลของ B C และ N ค่า Z^* จะเพิ่มขึ้น (แม้ว่าจะไม่มาก) ทำให้พลังงานออร์บิทัลลดลง
- ค่าพลังงานใน 2s-เวเลนซ์ออร์บิทัลของ Li เท่ากับ -6 อิเล็กตรอนโวลต์ ซึ่งมีค่าน้อยที่สุด ขณะเดียวกันเวเลนซ์ออร์บิทัลของ Na (3s) และ K (4s) ก็มีพลังงานออร์บิทัลน้อยเช่นกัน จะเห็นว่าพื้นฐานการจัดตารางธาตุ 3 ธาตุนี้ควรจัดอยู่ในหมู่เดียวกันของ

ตารางธาตุ

4. ธาตุที่มีตำแหน่งว่าง (vacancy) ในอะตอมมิคออร์บิทัลซึ่งเสถียรที่สุดคือ F (-88 อิเล็กตรอน โวลต์ สำหรับตำแหน่งว่างในชั้น 2p) ซึ่งมีผลอย่างมากเกี่ยวกับลักษณะเฉพาะของการเกิดพันธะของ F

5. ข้อยกเว้น(exceptions) ที่เกี่ยวกับลำดับทั่วไปของเสถียรภาพของออร์บิทัลจะเห็นได้จาก 2p-ออร์บิทัลของธาตุหลังจาก Ne ไปแล้วจะมีความเสถียรมากกว่า 2s-ออร์บิทัล ซึ่งทำให้วิธีการของคลีเมน ไทรและไรมอน โควิงเป็นที่น่าสงสัยอยู่

เพื่อที่จะให้เข้าใจยิ่งขึ้น ให้เปรียบค่าพลังงานออร์บิทัลของอะตอมกับแคตอิออน และแอนอิออนของธาตุเดียวกัน ดัวอย่างเช่นพลังงานออร์บิทัลของโนรอน (B)

	$B^+ (1s^2 2s^2)$	$B (1s^2 2s^2 2p^1)$	$B^- (1s^2 2s^2 2p^2)$
E_{1s}	-298 eV	-298 eV	-297 eV
E_{2s}	-29 eV	-22 eV	-16 eV
E_{2p}		-20 eV	-1.5 eV

ค่าดังกล่าวเป็นค่าประมาณ แต่แสดงให้เห็นแนวโน้มว่าการที่อิเล็กตรอนหลุดออกไปจะลดการกัน มีผลให้เพิ่มเสถียรภาพของมวลน้ำของออร์บิทัล แต่จะได้ผลกระทบกันถ้าเพิ่มอิเล็กตรอนเข้าไป

2.3 พลังงานอิオนในเชื้อน (Ionization Energies)

พลังงานอิオนในเชื้อน(IIE) นิยามได้ว่าเป็นพลังงานที่ต้องการในการดึงอิเล็กตรอนหนึ่งตัวออกจากอะตอมหรืออิオนในสถานะก้าช ขบวนการนี้เป็น ขบวนการเอน โคลเทอร์ มิก * (endothermic) เสมอ นั่นคือ $\Delta H > 0$

* ขบวนการเอน โคลเทอร์ มิก : เป็นขบวนการที่ระบบมีพลังงานต่ำกว่าสิ่งแวดล้อม จึงห้องดูดพลังงานความร้อนจากสิ่งแวดล้อม เข้าไป

สำหรับสมการทั่วไป



ค่าพลังงานอิオอํานาเซชันเป็นบวกเสมอ และเนื่องจากเป็นไปได้ที่จะดึงอิเล็กตรอนออกจากอะตอมได้มากกว่า 1 ตัว ดังนั้นเราจึงสนใจพลังงานอิオอํานาเซชันที่ 1 ที่ 2 และที่ 3 ตามลำดับ



ตัวอย่างเช่น



ลำดับของพลังงานที่ต้องใช้นั้น $IE_1 < IE_2 < \dots < IE_n$ ทึ้งนี้เนื่องจากอิเล็กตรอนซึ่งหลุดออกไปเรื่อยๆ จะต้องถูกดึงออกจากอิオนที่มีประจุบวกมากขึ้นตามลำดับดังสมการข้างบน

วิธีการวัดค่าพลังงานอิオอํานาเซชันวิธีหนึ่ง ก็คือไฟโตอิเล็กตรอนスペกโตรสโคป (photoelectron spectroscopy) โดยการให้พลังงานไฟฟotonแสงเดียว (monochromatic photons) ผ่านตัวอย่างแล้ววัดสเปกตรัมของพลังงานจลน์ของอิเล็กตรอนที่ถูกยิงออกไป พลังงานจลน์ของอิเล็กตรอนจะสอดคล้องกับแต่ละระดับพลังงานของอะตอมตัวอย่าง จากนั้นจึงคำนวณค่าพลังงานอิอ้ออํานาเซชันจากกฎของไอน์สไตน์ คือ

$$hv = IE + E_k \quad (2.6)$$

เมื่อ hv = พลังงานไฟฟoton

IE = พลังงานอิอ้ออํานาเซชัน

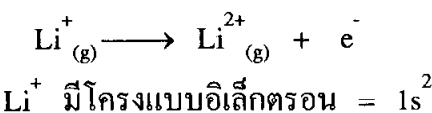
E_k = พลังงานจลน์ของอิเล็กตรอน

กฎนี้เรียกว่า ไอน์สไตน์ไฟโตอิเล็กทริก (Einstein photoelectric law) ซึ่งกล่าวว่า พลังงานส่วนเกินของไฟฟotonหลังจากที่ใช้ในกระบวนการอิอ้ออํานาเซชันแล้วก็คือ พลังงานจลน์

ของอิเล็กตรอนที่หลุดออกมานั่นเอง เมื่อเราทราบพลังงานของไฟฟ่อน วัดพลังงานจะนี้ของอิเล็กตรอนได้ก็สามารถคำนวณค่าพลังงานอิオอื่นเช่นได้

การประมาณค่าพลังงานอิオในเชิงเร้าสามารถทำได้โดยถือว่าค่าพลังงานนี้เท่ากับผลต่าง ระหว่างพลังงานรวมที่ยึดอะตอมไว้ กับพลังงานรวมที่ยึดอิอ่อนไว้เมื่ออิเล็กตรอนหลุดไป พลังงานรวม (binding energy) ดังกล่าวหาได้จากผลรวมของพลังงานของอิเล็กตรอนในชั้นต่างๆ นั่นคือ จำนวนอิเล็กตรอนในแต่ละชั้นคูณ $(13.6) \left[\frac{Z-S}{n^*} \right]^2$ โดยทั่วไปนักจะคิดเปรียบเทียบเฉพาะชั้นเวลาเดนซ์อร์บิตัลซึ่งมีการเปลี่ยนแปลงจำนวนอิเล็กตรอน

ตัวอย่าง จงคำนวณพลังงานอิอื่นเชิงที่ 2 ของ Li



$$S_{1s} = 0.300 (2-1) = 0.300$$

ดังนั้น $E_{\text{binding}} = (2) (13.6) \left[\frac{3-0.300}{1} \right]^2 = 198.288 \text{ eV}$

ส่วน Li^{2+} มีโครงแบบอิเล็กตรอน = $1s^1$

$$S_{1s} = 0.300 (1-1) = 0.000$$

ดังนั้น $E_{\text{binding}} = (1) (13.6) \left[\frac{3-0.000}{1} \right] = 122.4 \text{ eV}$

$$\text{ดังนี้พลังงานอิอื่นเชิงที่ 2 ของ Li} = 198.288 - 122.4 = 75.888 \text{ eV}$$

จะเห็นว่าใกล้เคียงกับค่าในตารางที่ 2.5 คือ 75.638 eV และค่าพลังงานอิอื่นเชิงที่ 3 สามารถหาได้โดยที่ Li^{3+} ไม่มีอิเล็กตรอนเหลืออยู่เลย ($1s^0$) ดังนี้พลังงานที่ยึดอิอ่อนไว้ในชั้น 1s เท่ากับศูนย์ นั่นคือพลังงานอิอื่นเชิงที่ 3 = $122.4 - 0.0 = 122.4 \text{ eV}$

ตารางที่ 2.5 แสดงค่าพลังงานอิอื่นเชิงที่ 1 2 และ 3 (eV) รวมทั้งค่าอิเล็กตรอนแอฟฟินิตีของธาตุด้วย

ตารางที่ 2.5 ค่าพลังงานอิオในเซชันที่ 1 , 2 และ 3 และค่าอิเล็กตรอนแยฟพินิตีที่ 1 ของธาตุ 1-95

เลขอะตอม	ธาตุ	E_{A_1}	IE_1	IE_2	IE_3
1	H	0.75	13.598		
2	He	-0.22	24.587	54.416	
3	Li	0.62	5.392	75.638	122.45 1
4	Be	-2.5	9.322	18.211	153.893
5	B	0.28	8.298	25.154	37.930
6	C	1.27	11.260	24.383	47.887
7	N	0.07	14.534	29.601	47.448
8	O	1.46	13.618	35.116	54.934
9	F	3.40	17.422	34.970	62.707
10	Ne	-0.3	21.564	40.962	63.45
11	Na	0.55	5.139	47.286	71.64
12	Mg	-0.15	7.646	15.035	80.143
13	Al	0.46	5.986	18.828	28.447
14	Si	1.39	8.151	16.345	33.492
15	P	0.74	10.486	19.725	30.18
16	S	2.08	10.360	23.33	34.83
17	Cl	3.62	12.967	23.81	39.6 1
18	Ar	-0.36	15.759	27.629	40.74
19	K	0.50	4.341	31.625	45.12
20	Ca	-1.8	6.113	11.871	50.908
21	Sc	0.14	6.54	12.80	24.76
22	Ti	0.08	6.82	13.58	27.49 1
23	V	0.5	6.74	14.65	29.310
24	Cr	0.66	6.166	16.50	30.96
25	Mn	0	7.435	15.640	33.661
26	Fe	0.25	7.870	16.18	30.651
27	Co	0.7	7.86	17.06	33.50
28	Ni	1.15	7.635	18.168	35.17
29	Cu	1.23	7.726	20.292	36.83
30	Zn	-0.49	9.394	11.964	39.722
31	Ga	0.3	5.999	20.51	30.71
32	Ge	1.2	7.899	15.934	34.22

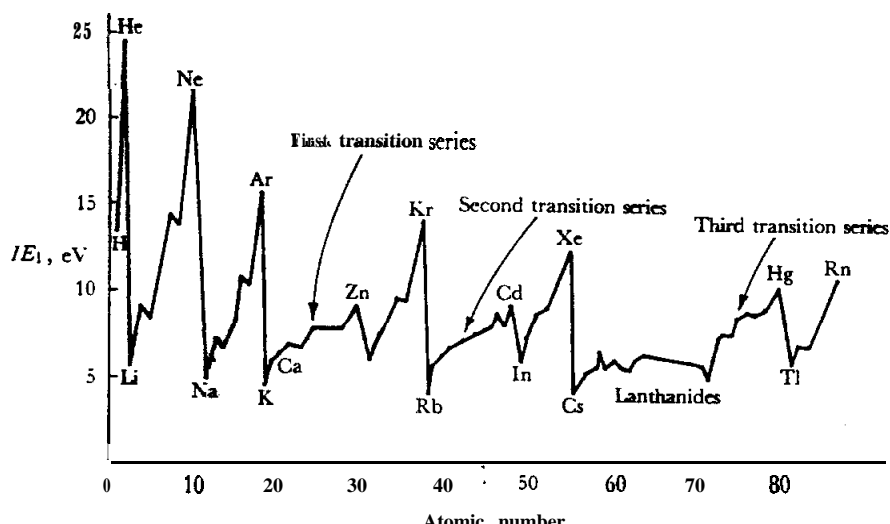
ตารางที่ 2.5 (ต่อ)

เลขอะตอม	ธาตุ	EA ₁	IE ₁	IE ₂	IE ₃
33	As	0.8	9.81	18.633	28.351
34	Se	2.02	9.752	21.19	30.820
35	Br	3.36	11.814	21.8	36
36	Kr	- 0.40	13.999	24.359	36.95
37	Rb	0.49	4.177	27.28	40
38	Sr	- 1.7	5.695	11.030	43.6
39	Y	0	6.38	12.24	20.52
40	Zr	0.43	6.84	13.13	22.99
41	Nb	1.0	6.88	14.32	25.04
42	Mo	0.75	7.099	16.15	27.16
43	Tc		7.28	15.26	29.54
44	Ru	1.5	7.37	16.76	28.47
45	Rh	1.14	1.46	18.08	31.06
46	Pd	0.56	8.34	19.43	32.93
47	Ag	1.30	7.576	21.49	34.83
48	Cd	- 0.33	8.993	16.908	37.48
49	In	0.3	5.786	18.869	28.03
50	Sn	1.25	7.344	14.632	30.502
51	Sb	1.05	8.641	16.53	25.3
52	Te	1.97	9.009	18.6	27.96
53	I	3.06	10.451	19.131	33
54	Xe	- 0.42	12.130	21.21	32.1
55	Cs	0.47	3.894	25.1	
56	Ba	- 0.5	5.212	10.004	
57					
58	La	0.5	5.577	11.06	19.175
59	Ce		5.47	10.85	20.20
60	Pr		5.42	10.55	21.62
61	Nd		5.49	10.72	
62	Pm		5.55	10.90	
63	Eu		5.63	11.07	
64	Gd		6.14	12.1	
65	Tb		5.85	11.52	
66	Dy		5.93	11.67	

ตารางที่ 2.5 (ต่อ)

เลขอะตอม	ธาตุ	EA ₁	IE ₁	IE ₂	IE ₃
61	Ho		6.02	11.80	
68	Er		6.10	11.93	
69	Tm		6.18	12.05	23.7 1
70	Yb		6.254	12.17	25.2
71	Lu		5.426	13.9	
72	Hf	-0.8	7.0	14.9	23.3
73	Ta	0.32	7.89		
74	W	0.82	7.98		
75	Re	0.15	7.88		
76	Os	1.1	8.7		
77	Ir	1.6	9.1		
78	Pt	2.1	9.0	18.563	
79	Au	2.31	9.225	20.5	
80	Hg	-0.63	10.437	18.756	34.2
81	Tl	0.3	6.108	20.428	29.83
82	Pb	0.37	7.416	15.032	31.937
83	Bi	0.95	7.289	16.69	25.56
84	Po		8.48		
85	At				
86	Rn	-0.42	10.748		
87	Fr	0.46			
88	Ra		5.279	10.147	
89	Ac		6.9	12.1	
90	Th			11.5	20.0
91	Pa				
92	U				
93	Np				
94	Pu		5.8		
95	Am		6.0		

รูปที่ 2.4 แสดงพลังงานอิオนในชั้นที่ 1 ซึ่งเปรียบเทียบกับ IE₁ ที่มากที่สุดในแต่ละแควได้แก่ โนเบลก้าซ (หมู่ 18)



รูปที่ 2.4 พลังงานอิオนในชั้นที่ 1 ของธาตุเปรียบเทียบกัน

2.4 อิเล็กตรอนแอกฟินิตี้ (Electron Affinities)

อิเล็กตรอนแอกฟินิตี้ (EA) คือพลังงานที่ถูกปล่อยออกมานี้เมื่ออะตอมหรืออิオンในสถานะก้าซได้รับอิเล็กตรอนหนึ่งตัว



จากนิยาม ให้สังเกตว่าอิเล็กตรอนแอกฟินิตี้จะเป็นบวกถ้าเป็น ขบวนการเอกโซเทอร์มิก * (exothermic) และจากสมการ (2.7) ถ้าผันกลับ (reverse) ก็คือพลังงานอิオนในชั้นที่ศูนย์ (zeroth IE) ของแอนอิออน $M^-_{(g)}$ นั่นเอง

ธาตุส่วนใหญ่จะมีค่าอิเล็กตรอนแอกฟินิตี้ที่ 1 (EA_1) เป็นบวก นั่นคือการเติมอิเล็กตรอนเข้าไปยังอะตอมที่เป็นกลาง โดยปกติจะเป็นการขายความร้อน แต่ธาตุในหมู่ 2 และหมู่ 18 จะเป็นข้อยกเว้น (ดูในตาราง 2.5) ทั้งนี้เพราะธาตุทั้งสองหมู่นั้น ถ้าได้รับอิเล็ก

* ขบวนการเอกโซเทอร์มิก : เป็นขบวนการที่ระบบมีพลังงานสูงกว่าสิ่งแวดล้อม จึงขายพลังงานส่วนเกินออกสู่ภายนอก

ตรอนเพิ่มอีกจะต้องเริ่มนั่นบอย (subshell) ในน' (np สำหรับหน' 2 และ $(n+1)s$ สำหรับหน' 18) ซึ่งจะเข้าหากเพราะเสถียรภาพของออร์บิทัลดังกล่าวนั้นต่อ ส่วนค่า EA_2 หรือมากกว่า นั้นจะเป็นการคูณความร้อนเสมอ เมื่อจากมีแรงผลักระหว่างอิเล็กตรอนเพิ่มนี้น ตัวอย่าง เช่น ออกไซด์อ่อน O^{2-} จะไม่เสถียรในสถานะก้าวเนื่องจากขบวนการ



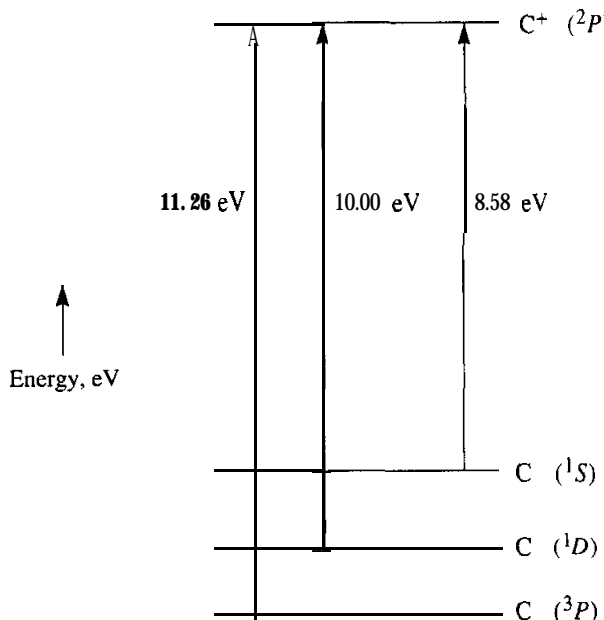
ดังนั้นเราจะพบออกไซด์อ่อนในสถานะของแข็ง (solids) เป็นส่วนใหญ่ จากตารางที่ 2.5 จะเห็นว่าค่าอิเล็กตรอนแอฟฟินิตี้แนวโน้มเพิ่มตามค่าน'ในแนวนอนและลดลงเมื่อลงมาในหน'เดียวกัน เช่นเดียวกับพลังงานอิオในเชื้อน แต่ก็ยังมีข้อยกเว้นต่างๆ ตัวอย่างเช่น ค่า EA_1 ของ N จะน้อยกว่าของ C ซึ่งเมื่อเขียนโครงแบบอิเล็กตรอนที่เกี่ยวข้องจะเห็นว่าเนื่องมาจากการผลของพลังงานสหสัมพันธ์ (correlation energy) ที่น่าแปลกอีกประการหนึ่ง ก็คือค่า EA_1 ที่เป็นลบมากที่สุดของธาตุได้แก่ของ Cl ซึ่งตามแนวโน้มน่าจะเป็น F ทั้งนี้ เพราะ F มีขนาดเล็กทำให้เกิดแรงผลักระหว่างอิเล็กตรอนมากกว่าในแอนอ่อน แต่ Cl มีขนาดใหญ่กว่าผลจึงน้อยกว่า ลักษณะเช่นเดียวกันนี้เกิดขึ้นในหน' 16 ด้วย ซึ่งค่า EA_1 ที่เป็นการคายความร้อนมากที่สุดในกลุ่มได้แก่ S ซึ่งอยู่ลำดับที่สองของหน'n

2.5 ค่าพลังงานอิօอ ในเชื้อนของสถานะเวเลนซ์ (Valence State Ionization Energies)

เราได้กล่าวถึงพลังงานออร์บิทัลมาแล้วในตารางที่ 2.3 ค่าเหล่านี้มีประโยชน์ในการคูณแนวโน้มของพลังงาน อย่างไรก็ตามค่าที่ถูกต้องแน่นอน จำเป็นต้องคำนวณจากการทดลองโดยเฉพาะสำหรับเวเลนซ์อิเล็กตรอน ข้อมูล (data) เหล่านี้ได้จากสเปกโตรสโคป ของอิเล็กตรอนเรียกว่า พลังงานอิօอ ในเชื้อนของสถานะเวเลนซ์* (VSIE's)

* พลังงานอิօอ ในเชื้อนของสถานะเวเลนซ์ (VSIE) : บางครั้งอาจจะให้เป็นอิօอ ในเชื้อนไฟแทนเรียลของเวเลนซ์ ออร์บิทัล (VOIP) แทนก็ได้

วิธีการคิด จะยกตัวอย่าง C ซึ่งเราทราบแล้วจากบทที่หนึ่งว่า โครงแบบสถานะพื้น $2p^2$ นั้นมีระดับพลังงานต่างกัน 3 ระดับ นั่นคือ 3P , 1D และ 1S และเป็นไปได้ที่จะดึงเอาอิเล็กตรอนออกจากสถานะใดสถานะหนึ่งก็ได้ เพื่อจะให้ได้เป็น C $2p^1$ ในสถานะพื้นคือ 2P ซึ่งมีสถานะเดียวกัน



รูปที่ 2.5 การหาพลังงานอิオนในเชิงของสถานะเวลน์ที่เกิดจาก 3P , 1D และ 1S ของ $C 1s^2 2s^2 2p^2$

จะเห็นว่าค่าพลังงานอิオนในเชิงที่ต่างกันถึง 3 ค่าจากสถานะพื้นของ C ที่เป็นไปได้ ค่าพลังงานอิオนในเชิงจากการทดลองเท่ากับ 11.26 eV (3P), 10.00 eV (1D) และ 8.58 eV (1S) ประชากรสัมพัทธ์ (relation populations) ของสถานะเหล่านี้เหมือนกับดังนี้ เนอเรซี คือ $9 : 5 : 1$ ดังนั้นพลังงานอิオนในเชิงเฉลี่ยตามน้ำหนักสามารถคำนวณได้ดังนี้

$$IE_{\text{aver}} = \frac{9(11.26) + 5(10.00) + 1(8.58)}{15} = 10.66 \text{ eV}$$

ซึ่งถือเป็นค่า VSIE ของ $2p$ ออร์บิทัลของ C เป็นต้น ตารางที่ 2.6 แสดงค่า VSIE's ซึ่งคำนวณได้โดยวิธีนี้ จะเห็นว่าแนวโน้มเหมือนกับพลังงานออร์บิทัล แต่อาจมีค่าต่างกันเล็กน้อย

ตารางที่ 2.6 พลังงานอิオอินเซชันของสถานะเวลนซ์ (eV)

ธาตุ	1s	2s	2p	3s	3p	4s	4 P
H	13.6						
He	24.6						
Li		5.4					
Be		9.3					
B		14.0	8.3				
C		19.4	10.6				
N		25.6	13.2				
O		32.3	15.8				
F		40.2	18.6				
Ne		48.5	21.6				
Na			5.1				
Mg			7.6				
Al			11.3	5.9			
Si			14.9	7.7			
P			18.8	10.1			
S			20.7	11.6			
Cl			25.3	13.7			
AI			29.2	15.8			
K				4.3			
Ca				6.1			
Zn				9.4			

ตารางที่ 2.6 (ต่อ)

ธาตุ	1s	2s	2P	3s	3p	4s	4P
Ga						12.6	6.0
Ge						15.6	1.6
As						17.6	9.1
Se						20.8	10.8
Br						24.1	12.5
Kr						27.5	14.3

2.6 อิเล็กโตรเนกติวิตี้ (Electronegativity)

ไลนัส พอลลิง (Linus Pauling) เป็นผู้นิยามอิเล็กโตรเนกติวิตี้ว่าเป็น “อำนาจ (power) ของอะตอมในไมโครกลุ่มในการดึงดูดอิเล็กตรอนเข้าหาตัวเอง” จากนิยามนี้จะเห็นว่า อะตอมที่มีเวลน์ช้อร์บิตัลที่มีเสถียรภาพที่สุดน่าจะมีค่าอิเล็กโตรเนกติวิตี้สูง ฉะนั้นธาตุที่มีค่าอิเล็กโตรเนกติวิตี้มากที่สุดน่าจะเป็น Ne เนื่องจากเวลน์ช้อร์บิตัล (2s และ 2p) เสถียรที่สุด (ตารางที่ 2.6) อย่างไรก็ตามเรายังไม่พบสารประกอบที่เสถียรของ Ne ดังนั้น นิยามของพอลลิงจึงประยุกต์ใช้กับกาซเฉื่อยไม่ได้ (He, Ne, Ar, เป็นต้น) สำหรับธาตุที่เหลืออื่นๆ F มีค่าเวลน์ช้อร์บิตัลที่เสถียรที่สุด ดังนั้นจึงมีค่าอิเล็กโตรเนกติวิตี้มากที่สุด

ตารางที่ 2.7 ค่าอิเล็กโตรเนกติวิตี้ของพอลลิง

H 2.20	He							
Li 0.98	Be 1.57	B 2.04	C 2.55	N 3.04	O 3.44	F 3.98	Ne	
Na 0.93	Mg 1.31	Al 1.61	Si 1.90	P 2.19	S 2.68	Cl 3.16	Ar	
K 0.82	Ca 1.00	Ga 1.81	Ge 2.01	As 2.18	Se 2.55	Br 2.96	Kr 3.0	
Rb 0.82	Sr 0.95	In 1.78	Sn 1.96	Sb 2.05	Te 2.10	I 2.66	Xe 2.6	
CS 0.79	Ba 0.89	Tl 204	Pb 2.33	Bi 2.02				

จากตารางที่ 2.7 แนวโน้มในตารางธาตุตามความ ค่าอิเล็กโตรเนกติกวิตี้จะเพิ่มขึ้น และลดลงในหมู่เดียวกัน เมื่อยอนกับค่าพลังงานอิオอโนนเชชัน และอิเล็กตรอนแอกฟีนิตี้

แนวโน้มที่สำคัญของค่าที่เปลี่ยน (vary) ไปของอิเล็กโตรเนกติกวิตี้ซึ่งเกี่ยวข้องกับ ชนิดของออร์บิทัล และประจุยังมี

- สำหรับออร์บิทัลในอะตอมเดียว ก้าวอิเล็กโตรเนกติกวิตี้จะลดลงจาก $1s > 2s > 2p > 3s > \dots$

- สำหรับธาตุใดๆ ค่าอิเล็กโตรเนกติกวิตี้จะลดลงเมื่อจำนวนอิเล็กตรอนเพิ่มขึ้น $M^{2+} > M^+ > M > M^- > M^{2-} > \dots$

ได้มีผู้เสนอค่าทางปริมาณของอิเล็กโตรเนกติกวิตี้ที่คลายวิธี ค่าเดิมของพอลลิงมาจากการ พลังงานพันธะ (bond energies) โดยนิยามว่า ในโมเลกุล AB ค่าอิเล็กโตรเนกติกวิตี้ที่ต่าง กันของ A และ B เนื่องมาจากความแตกต่างของพลังงานพันธะของ A-B กับทางเฉลี่ยทาง เรขาคณิตของพลังงานพันธะ A-A และ B-B นั้นคือ

$$|\chi_A - \chi_B| = 0.1017 \times \sqrt{\Delta} \quad (2.8)$$

เมื่อ χ_A และ χ_B เป็นค่าอิเล็กโตรเนกติกวิตี้ของอะตอม A และ B ตามลำดับ

$$\text{และ } \Delta = E(A-B) - \sqrt{E(A-A) \times E(B-B)} \text{ kJ}$$

โดยที่ E(A-B) E(A-A) และ E(B-B) เป็นพลังงานพันธะของโมเลกุล AB A₂ และ B₂ ตามลำดับ ค่าอิเล็กโตรเนกติกวิตี้ของพอลลิงถือว่าเป็นการวิเคราะห์จากพลังงานโมเลกุล ไม่ได้ใช้สมบัติอะตอม

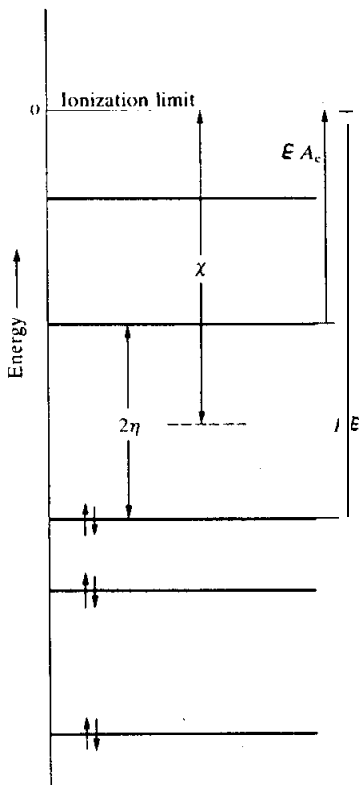
ส่วนออลเรด และ โรชัวร์ (Allred and Rochow) ใช้ค่าประจุนิวเคลียสที่บังพล (Z^*) คำนวณแรงทางไฟฟ้าสถิตย์ของนิวเคลียส และ อิเล็กตรอนชั้นนอกสุด ดังสมการ

$$\chi_{AR} = \frac{3590Z^*}{r^2} + 0.744 \quad (2.9)$$

เมื่อ χ_{AR} เป็นอิเล็กโตรเนกติกวิตี้ และ r คือรัศมีโคเวเลนท์เป็นพิโคเมตร(pm) ก่อนหน้านี้ โรเบิร์ต มูลลิกเคน (Robert Mulliken) ได้นิยามค่าอิเล็กโตรเนกติกวิตี้สมบูรณ์ (absolute electronegativity) ว่า เป็นค่าเฉลี่ยของ IE₁ และ EA₁ ของอะตอมนั้นคือ

$$\chi_M = \frac{IE_1 + EA_1}{2}$$

ค่า IE และ EA ในนิยามนี้สัมพันธ์กับสถานะที่เจาะจง (specified state) ของอะตอมซึ่งเรียกว่า สถานะเวเลนซ์ (valence state) สถานะเวเลนซ์นี้คือ สถานะของอะตอมเมื่อถือว่าเป็นส่วนหนึ่งของโมเลกุล ด้วยเหตุนี้ค่า IE และ EA ที่จะใช้ในการคำนวณ χ_M จึงเป็นค่าพสมที่ได้จากสถานะทางสเปกตรัมซึ่งเราจะไม่เข้าไปถึงการคำนวณดังกล่าว อิเล็กโตรเนกติกวีตีสัมบูรณ์ อธิบายได้ในท่อนของระดับพลังงานของอะตอม ดังรูปที่ 2.6



รูปที่ 2.6 การศึกษาความค่าอิเล็กโตรเนกติกวีตีสัมบูรณ์

ซึ่งแสดงตำแหน่ง (locations) ของฟรอนทิเยอร์อร์บิทัล (frontier orbitals) นั่นคืออร์บิทัลบนสุดที่มีอิเล็กตรอนบรรจุอยู่กับอร์บิทัลที่ต่ำสุดที่ไม่มีอิเล็กตรอน ถ้าฟรอนทิเยอร์อร์บิทัลทั้งสองมีพลังงานต่ำ ค่าพลังงานอิオนในเชิง และค่าอิเล็กตรอนแอกฟินิตีมีค่ามาก ค่าอิเล็กโตรเนกติกวีตีก็มากด้วย อะตอมแบบนี้จะไม่ค่อยปล่อยอิเล็กตรอน และมีแนวโน้มที่จะดึงจากอะตอมอื่น ถ้าภายในชั้นเวเลนซ์ขาดอิเล็กตรอน

เมื่อไม่นานมานี้ ออลเลน (Allen) ได้เสนอค่าอิเล็กโตรเนกติกวิตีที่ได้จากการสเปกต์เรโซโนเมเตอร์ ซึ่งนิยามในเทอมของพลังงานเฉลี่ยของอิเล็กตรอนใน s- และ p- ออร์บิทัลของอะตอม

$$\chi_s = \frac{m\epsilon_p + n\epsilon_s}{m+n} \quad (2.11)$$

เมื่อ m และ n เป็นจำนวนอิเล็กตรอนในชั้น p- และ s- ออร์บิทัล พลังงาน ϵ_p และ ϵ_s ได้จากข้อมูลเฉลี่ยทางสเปกต์เรโซโนเมเตอร์ ซึ่งสามารถหาได้ทั้งในเบลก้าร์ดวาย ตารางที่ 2.8 แสดง

ตารางที่ 2.8 อิเล็กโตรเนกติกวิตีของธาตุใน s- และ p- บล็อก

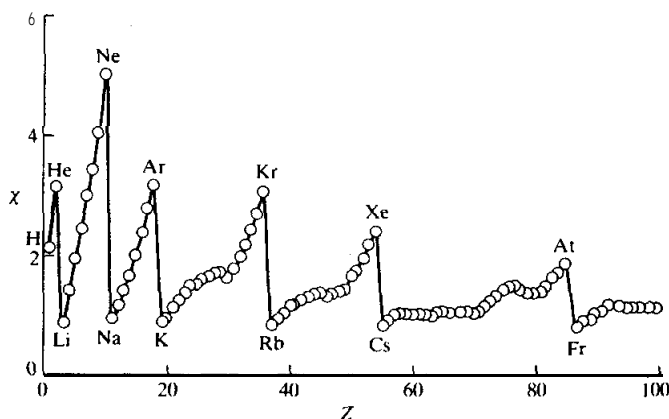
อะตอม	χ_p	χ_{AR}	χ_m	χ_s	อะตอม	χ_p	χ_{AR}	χ_m	χ_s
H	2.20	2.20	3.06	2.30	Ga	1.81	1.82	1.34	1.76
Li	0.98	0.97	1.28	0.91	Ge	2.01	2.02	1.95	1.99
Be	1.57	1.47	1.99	1.58	As	2.18	2.20	2.26	2.21
B	2.04	2.01	1.83	2.05	Se	2.55	2.48	2.51	2.42
C	2.55	2.50	2.67	2.54	Br	2.96	2.74	3.24	2.69
N	3.04	3.07	3.08	3.07	Kr		2.94	2.98	2.97
O	3.44	3.50	3.21	3.61	Rb	0.82	0.89	0.99	0.71
F	3.98	4.10	4.42	4.19	Sr	0.95	0.99	1.21	0.96
Ne		4.84	4.60	4.79	In	1.78	1.49	1.30	1.66
Na	0.93	1.01	1.21	0.87	Sn	1.96	1.72	1.83	1.82
Mg	1.31	1.23	1.63	1.29	Sb	2.05	1.82	2.06	1.98
Al	1.61	1.47	1.37	1.61	Te	2.10	2.01	2.34	2.16
Si	1.90	1.74	2.03	1.92	I	2.66	2.21	2.88	2.36
P	2.19	2.06	2.39	2.25	Xe	2.60	2.40	2.59	2.58
S	2.58	2.44	2.65	2.59	cs	0.79	0.86		
Cl	3.16	2.83	3.54	2.87	Ba	0.89	0.97		
Ar		3.20	3.36	3.24	Tl	2.04			
K	0.82	0.91	1.03	0.73	Pb	2.33			
Ca	1.00	1.04	1.30	1.03	Bi	2.02			

ค่าอิเล็กโตรเนกติกวิตีในสกุลต่างๆ ส่วนตารางที่ 2.9 เป็นค่าอิเล็กโตรเนกติกวิตีของธาตุทรานซิชัน

ตารางที่ 2.9 อิเล็กโตรเนกติกวิตีของพอลลิงสำหรับ d- และ f- บล็อก

+a	+2	+2	+2	+2	+2	+2	+2	+2	+1	+2
d Block (oxidation states as indicated)										
Sc 1.36	Ti 1.54	V 1.63	Cr 1.66	Mn 1.55	Fe 1.83	Co 1.88	Ni 1.91	Cu 1.90	Zn 1.65	
Y 1.22	Zr 1.33	Nb 2.16	Tc 2.16	Ru 2.28	Rh 2.28	Pd 2.20	Ag 1.93	Cd 1.69		
La 1.10	Hf 2.36	Ta 2.36	W Re	Os 2.20	Ir 2.20	Pt 2.28	Au 2.54	Hg 2.00		
f Block (oxidation state +3)										
Ce 1.12	Pr 1.13	Nd 1.14	Pm 1.17	Sm 1.17	Eu 1.20	Gd 1.22	Tb 1.23	Dy 1.24	Er 1.25	Tm 1.0
	U 1.38	N 1.36	p 1.28	Pu 1.28						

ค่าที่ประพันไปของอิเล็กโตรเนกติกวิตีตามความแสดงในรูปที่ 2.7 จะเห็นว่าธาตุต่างๆที่อยู่ใกล้ F ส่วนใหญ่จะมีค่าพลังงานอิオในเชิง และอิเล็กตรอนแอดฟีนิตีสูงด้วย



รูปที่ 2.7 การแปรผันของอิเล็กโตรเนกติกวิตีในตารางธาตุ

ความสัมพันธ์ระหว่างขนาดของอะตอม พลังงานอิオในเชิง อิเล็กตรอนแอดฟีนิตีและอิเล็กโตรเนกติกวิตีนั้นมีความสำคัญซึ่งจำเป็นต้องกล่าวถึง ทั้งนี้ เพราะทุกพาราเมตอร์ (parameter) ก็ขึ้นอยู่กับปัจจัย (factor) ซึ่งเหมือนกัน ที่เห็นได้ชัดได้แก่พลังงานของเวลน์ชอร์บิทัล ตัวอย่างเช่น อะตอมหนึ่งมีเวลน์ชอร์บิทัลที่เสถียรมาก ดังนั้นจึงต้อง

การผลั้งงานมากในการที่จะดึงอิเล็กตรอนในออร์บิทัลนี้ออกไป นั่นคือ พลังงานอิօอิ內เชชันจะสูง ถ้าออร์บิทัลนี้ขาดอิเล็กตรอนหรือมีอิเล็กตรอนเดียวก็จะดึงดูดอิเล็กตรอนภายนอกเข้าไป นั่นคือมีอิเล็กตรอนแยอฟฟินิตีมาก และถ้าออร์บิทัลนี้เกิดพันธะเคมี เสถียรภาพของออร์บิทัลจะดึงดูดอิเล็กตรอนที่ใช้ร่วมกันในพันธะให้เข้ามาใกล้ นั่นคือมีอิเล็กโตรเนกติวิตีสูงนั่นเอง

แบบฝึกหัดและคำถ้ามท้ายบท

- 2.1 จงจัดเรียง $3d$ -ออร์บิตัลของ Ni Cu และ Cu^{2+} ตามลำดับของการเพิ่ม⁺
(ก) ขนาด (ข) เสถียรภาพ (ค) อิเล็กโตรเนกติกวิศวกรรม
- 2.2 ธาตุใดระหว่าง 2 ธาตุมีค่าพลังงานอิオอ่อนชันที่ส่อง (IE_2) มากกว่า และให้เหตุผล
ประกอบคำตอบ
(ก) Li หรือ Be (ข) B หรือ C
(ก) C หรือ N (ก) Na หรือ Mg
- 2.1 จงเลือกค่าอิเล็กโตรอนแอกฟินิตี้ (EA) ระหว่างคู่ที่กำหนดให้ว่าค่าใดที่เป็นไปได้ทาง
เทอร์โมไดนามิกส์มากกว่า พร้อมทั้งให้เหตุผล
(ก) EA_1 กับ EA_2 ของ C (ข) EA_1 ของ Si กับ EA_1 ของ Ge
(ก) EA_1 ของ Ge กับ EA_1 ของ As
- 2.4 เปรียบเทียบค่าพลังงานอิオอ่อนชันที่หนึ่ง (IE_1) ของ Li กับค่าพลังงานอิオอ่อนชัน
ที่คำนวณได้ของ $2s$ -อิเล็กโตรอนจาก H และ $2s$ -อิเล็กโตรอนจาก Li^{2+} อธิบายถึงค่า⁺
ทั้งสองนี้ในเทอมของการผ่านทะลุ และการกัน
- 2.5 ขนาดอะตอมของโลหะทรายซิชันลดลงจากซ้ายไปทางขวา ท่านจะใช้ปัจจัยอะไร⁺
อธิบายการลดลงนี้ โดยเนพาะเหตุใดขนาดจึงลดลงตลอด และลดลงทีละน้อย
- 2.6 จากโครงแบบอิเล็กโตรอน จงอธิบายว่าเหตุใด
(ก) S มีอิเล็กโตรอนแอกฟินิตี้ต่ำกว่า Cl
(ข) I มีอิเล็กโตรอนแอกฟินิตี้ต่ำกว่า Br
(ก) Cl มีพลังงานอิオอ่อนชันต่ำกว่า F
(ก) B มีพลังงานอิオอ่อนชันต่ำกว่า Be
- 2.7 ตารางธาตุค่อยๆขยายไปเรื่อยๆจากการสังเคราะห์ธาตุใหม่
(ก) ธาตุที่ 105 ได้ถูกกำหนดสัญลักษณ์เป็น Ha จงเขียนโครงแบบอิเล็กโตรอนของ
สถานะพื้นของธาตุนี้

- (๗) เลขอะตอมของスマชิก (ชาตุ) ในหนู 15 จะมีค่าเท่าใด
- (๘) เลขอะตอมของโลหะอัลคาไลน์ด้วยจะเป็นเท่าไร
- 2.8 จงคำนวณค่าพลังงานอิオโนนเชชันที่สามของ B
- 2.9 จงใช้ค่าอิเล็กโตรเนกติกิติวิตในสกอลไดส์กอลหนึ่งจากตารางที่ 2.8 สร้างกราฟระหว่าง χ กับ VSIE สำหรับ 18 ชาตุแรก จากราฟที่ผลลัพธ์ได้ท่านจะสรุปผลได้อย่างไรบ้าง
- 2.10 จงอธิบายเหตุผลประกอบการเปรียบเทียบขนาดของอะตอม และ อิออนต่อไปนี้
- (ก) $Mg > Mg^{2+}$ (ก) $Ca > Zn$
- (ก) $H^- > He$ (ก) $As^{3-} > Se^{2-}$